

# Робастное управление с возмущениями

## 1. Теоретический анализ

### 1.1 Система

Манипулятор может быть описан уравнением:

$$M(q)\ddot{q} + C(q, \dot{q})\dot{q} + g(q) + D\dot{q} + F_c(\dot{q}) = u \quad (1.1.1)$$

$$M(q)\ddot{q} + (C(q, \dot{q}) + D)\dot{q} + g(q) + F_c(\dot{q}) = u \quad (1.1.2)$$

где:

- $M(q)$  - неопределенная (для нее известна только примерная оценка) матрица инерции системы
- $C(q, \dot{q})$  - неопределенная матрица центробежных и кориолисовых сил
- $g(q)$  - неопределенный вектор сил гравитации
- $D$  - неизвестная диагональная матрица вязкого трения
- $F_c$  - неизвестный вектор сил кулоновского трения
- $u$  - наше управление моментами (силами)

### 1.2 Линеаризация системы

Может быть проведена посредством использования управления в виде с использованием оценок параметров системы:

$$u = \hat{M}(q)v + (\hat{C}(q, \dot{q}) + \hat{D})\dot{q} + \hat{g}(q) + \hat{F}_c(\dot{q}), \quad (1.2.1)$$

где значения с шапкой - оценочные значения для реальных параметров системы, используемые для компенсации нелинейности системы, а  $v$  - непосредственное управление.

Если пооставить такое управление в уравнение динамики,  $\ddot{q}$  может быть выражено как:

$$\ddot{q} = M^{-1}(q) \cdot (\tilde{C}(q, \dot{q})\dot{q} + \tilde{D}\dot{q} + \tilde{g}(q) + \tilde{F}_c(\dot{q})) + M^{-1}(q)\hat{M}(q)v \quad (1.2.2)$$

Которое можно свернуть в:

$$\ddot{q} = f(q, \dot{q}) + B(q)v \quad (1.2.3)$$

где:

$$f(q, \dot{q}) = M^{-1}(q) \cdot (\tilde{C}(q, \dot{q})\dot{q} + \tilde{D}\dot{q} + \tilde{g}(q) + \tilde{F}_c(\dot{q})) \quad (1.2.4)$$

- $\tilde{C} = C - \hat{C}$
  - $\tilde{D} = D - \hat{D}$
  - $\tilde{g} = g - \hat{g}$
  - $\tilde{F}_c = F_c - \hat{F}_c$
- и

$$B(q)v = M^{-1}(q)\hat{M}(q)v \quad (1.2.5)$$

### 1.3 Sliding surface

Задается уравнением:

$$S = \dot{\tilde{q}} + \lambda\tilde{q}, \quad (1.3.1)$$

где:

- $\tilde{q} = q_{target} - q$  - ошибка по позиции суставов
- $\dot{\tilde{q}} = \dot{q}_{target} - \dot{q}$  - ошибка по скорости суставов
- $\lambda$  - матрица коэффициентов

Здесь, в качестве кандидата Ляпунова можно рассмотреть функцию:

$$V = \frac{1}{2} \|S\|^2 \quad (1.3.2)$$

Преобразуем функцию, подставив в нее выражение (1.2.3):

$$\dot{V} = S^T \dot{S} = S^T (\ddot{q} + \lambda \dot{q}) = S^T (\ddot{q}_{target} - \ddot{q} + \lambda \dot{q}) = S^T (\ddot{q}_{target} - f(q, \dot{q}) - B(q)v + \lambda \dot{q}) \quad (1.3.3)$$

Нам нужно чтобы  $\dot{V} < 0$ , этого можно достичь, если:

$$\ddot{q}_{target} - f(q, \dot{q}) - B(q)v + \lambda \dot{q} = -k \frac{S}{\|S\|} \quad (1.3.4)$$

Поскольку в этом случае:

$$\dot{V} = S^T \dot{S} = S^T (\ddot{q}_{target} - f(q, \dot{q}) - B(q)v + \lambda \dot{q}) = -k \frac{S^T S}{\|S\|} = -k \frac{\|S\|^2}{\|S\|} = -k \|S\| < 0 \quad (1.3.5)$$

Таким образом получаем, что система стабильна по Ляпунову, поскольку нашелся подходящий кандидат.

Преобразуя, получим:

$$B(q)v = \ddot{q}_{target} - f(q, \dot{q}) + k \frac{S}{\|S\|} + \lambda \dot{q} \quad (1.3.6)$$

Исходя из предположения, что оценочные значения близки к истинным можно сказать, что значение  $f(q, \dot{q}) \rightarrow 0$ , а матрица  $B(q) \rightarrow I$

Таким образом уравнение (1.3.6) упростится до:

$$v = \ddot{q}_{target} + k \frac{S}{\|S\|} + \lambda \dot{q} \quad (1.3.7)$$

Управление  $v$  может быть разложено на две составляющие:

$$v = v_n + v_s, \quad (1.3.8)$$

где:

- $v_n = \ddot{q}_{target} + \lambda \dot{q}$  - номинальная составляющая управления
- $v_s = k \frac{S}{\|S\|}$  - составляющая управления для прихода на поверхность

## 1.4 Sliding condition

Чтобы система сходилась с определенной скоростью, можно ввести условие:

$$\frac{1}{2} \frac{d}{dt} \|S\|^2 = S^T \dot{S} < -\eta \|S\| \quad (1.4.1)$$

Производная по времени от  $S$  выглядит соответственно:

$$\dot{S} = \ddot{q} + \lambda \dot{q} = v_n - \ddot{q} = v_n - f - B(v_n + v_s) = w - Bv_s \quad (1.4.2)$$

где:

$$w = (I - B)v_n - f \quad (1.4.3)$$

Подставляя (1.4.2) в (1.4.1) получим:

$$S^T (w - Bv_s) \leq \|S\| \|w\| - S^T Bv_s \leq -\eta \|S\| \quad (1.4.4)$$

## 1.5 Робастный контроллер

Контроллер  $v$  можно выбрать как:

$$v_s = \frac{k}{\sigma_{max}} \hat{M}^{-1} \frac{S}{\|S\|} = \rho \frac{S}{\|S\|} \quad (1.5.1)$$

где  $\sigma_{max}$  - максимальное сингулярное значение матрицы  $M^{-1}$

Благодаря выбранному таким образом  $v_s$ :

$$\|S\|\|w\| - S^T B v_s \leq \|S\|\|w\| + \frac{k}{\lambda_{max}^2 \|S\|} S^T M^{-1} S \leq \|S\|\|w\| + k\|S\| < -\eta\|S\| \quad (1.5.2)$$

Система будет сходиться при  $k > \|w\| + \eta$

## 1.6 Итоговая система

$$\begin{cases} u = \hat{M}(q)v + (\hat{C}(q, \dot{q}) + \hat{D})\dot{q} + \hat{g}(q) + \hat{F}_c(\dot{q}) \\ v = \ddot{q}_{target} + \lambda\dot{q} + v_s \\ v_s = \frac{k}{\sigma_{max}} \hat{M}^{-1} \frac{S}{\|S\|} = \rho \frac{S}{\|S\|} \\ S = \dot{q} + \lambda\tilde{q} \end{cases}.$$

## 2. Реализация и анализ эффективности

### 2.1 Модификация модели робота UR5

- Дополнительная масса на энд-эффекторе задается строкой:

```
sim.modify_body_properties("end_effector", mass=2)
```

- Коэффициенты демпфирования задаются в виде numpy.array:

```
D = np.array([0.5, 0.5, 0.5, 0.5, 0.5, 0.5])
```

и устанавливаются с помощью:

```
sim.set_joint_damping(D)
```

- Кулоновское трение задается постоянным для каждого сустава:

```
F_c = np.array([0.5, 0.5, 0.5, 0.5, 0.5, 0.5])
```

и устанавливается с помощью:

```
sim.set_joint_friction(F_c)
```

## 2.2 Реализация контроллеров

### 2.2.1 Реализация PD контроллера

```
def get_worse_parameters(M, C, g, D, F_c):
    result_disp = 0.01
    result = ((result_disp * 2 * np.random.random(5) - result_disp) + 1)

    M_hat = result[0] * M
    C_hat = result[1] * C
    g_hat = result[2] * g
    D_hat = result[3] * D
    F_c_hat = result[4] * F_c

    return M_hat, C_hat, g_hat, D_hat, F_c_hat

def controller(q: np.ndarray, dq: np.ndarray, t: float) -> np.ndarray:
    t_history.append(t)
    joint_position_history.append(q)
```

```

joint_velocity_history.append(dq)

pin.computeAllTerms(model, data, q, dq)

M_hat, C_hat, g_hat, D_hat, F_c_hat = get_worse_parameters(data.M, data.C, data.g, D, F_c)

q_t = np.array([-0.5, -0.7, 1.0, 0.0, 0.0, 0.0], dtype=float)
d_q_t = np.zeros(6, dtype=float)
dd_q_t = np.zeros(6, dtype=float)

q_err = q_t - q
error_history.append(q_err)

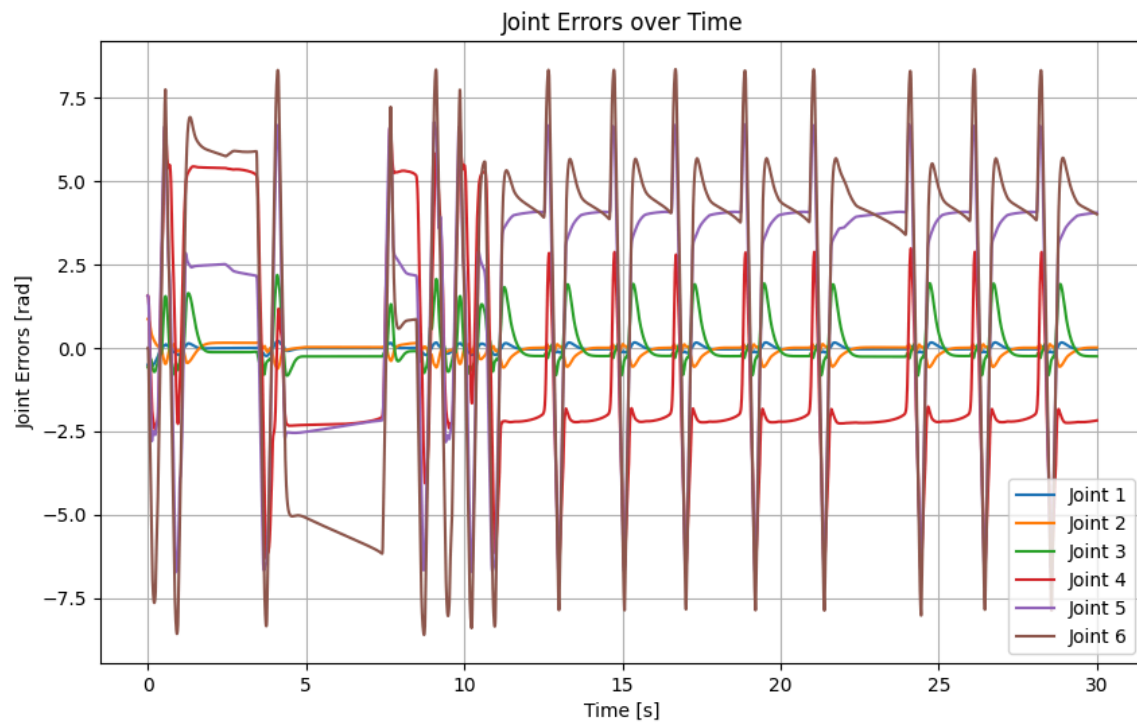
d_q_err = d_q_t - dq

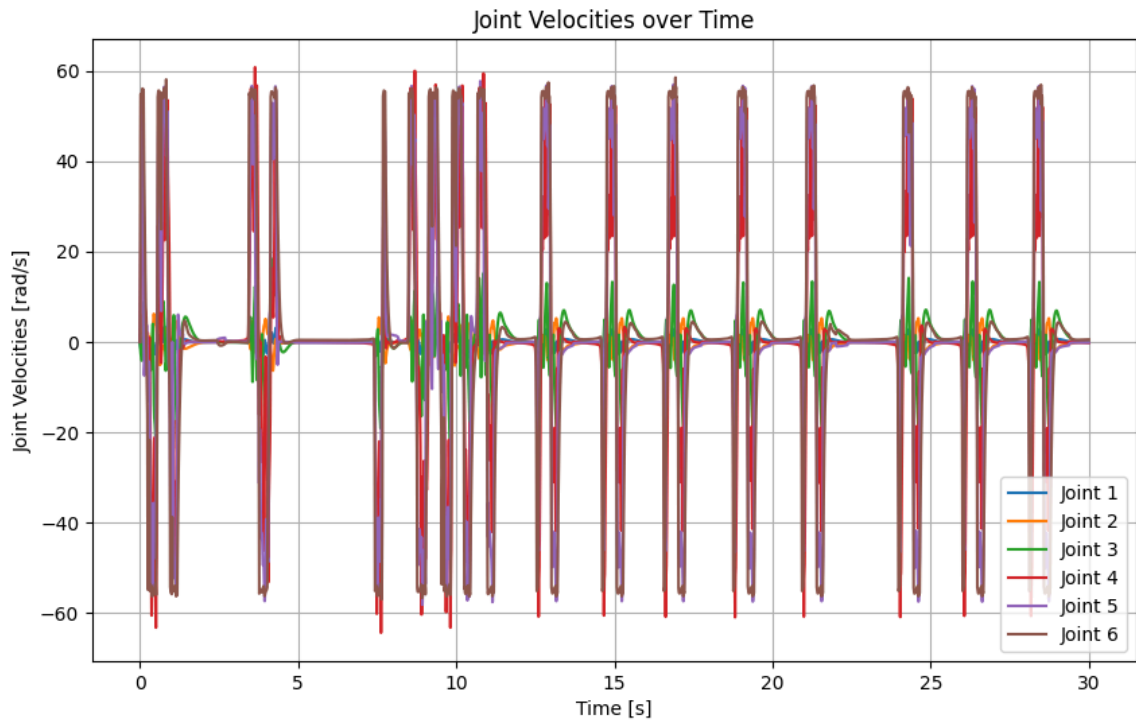
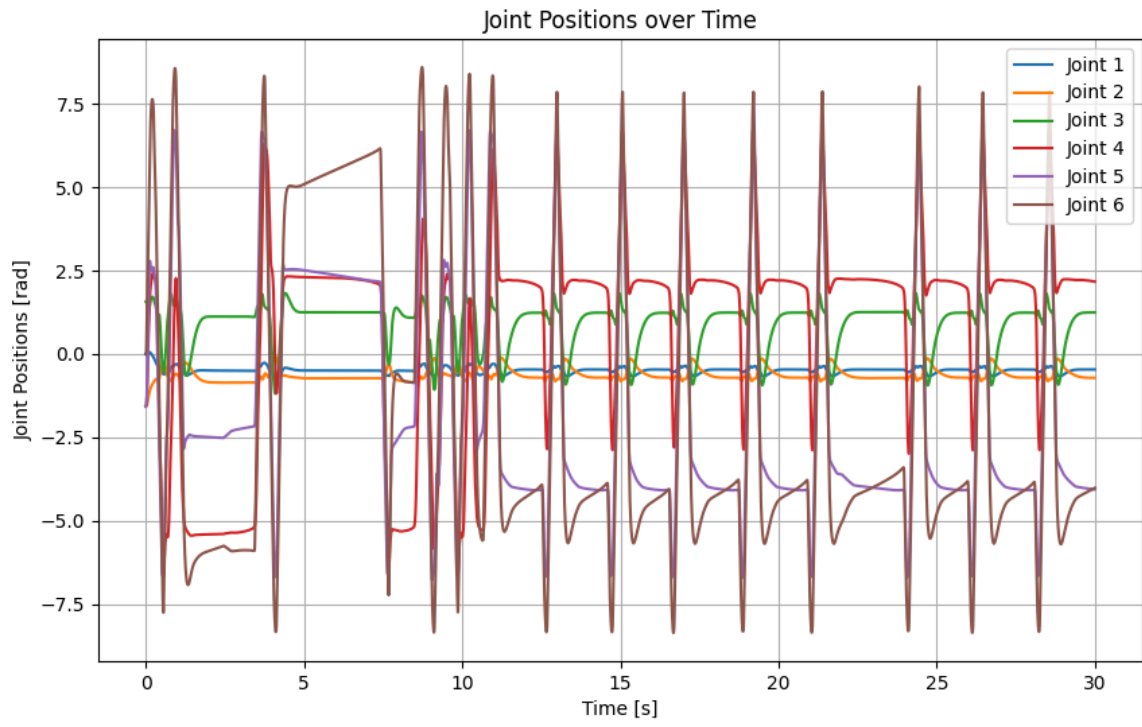
kp = 100
kd = 20

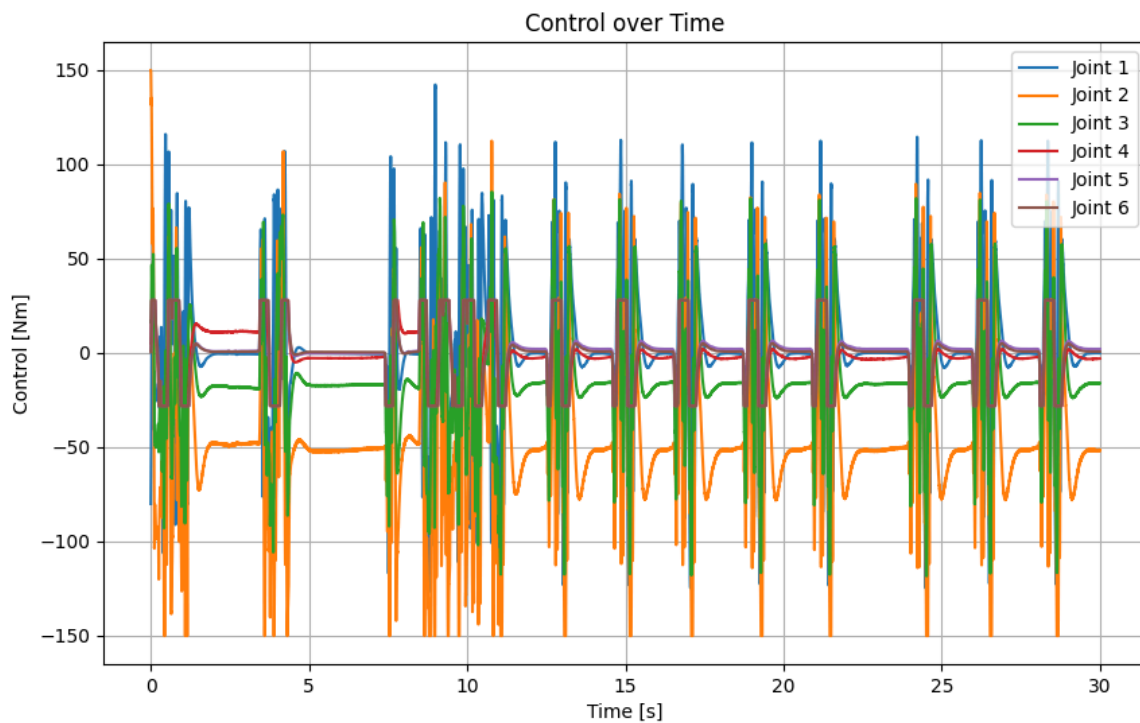
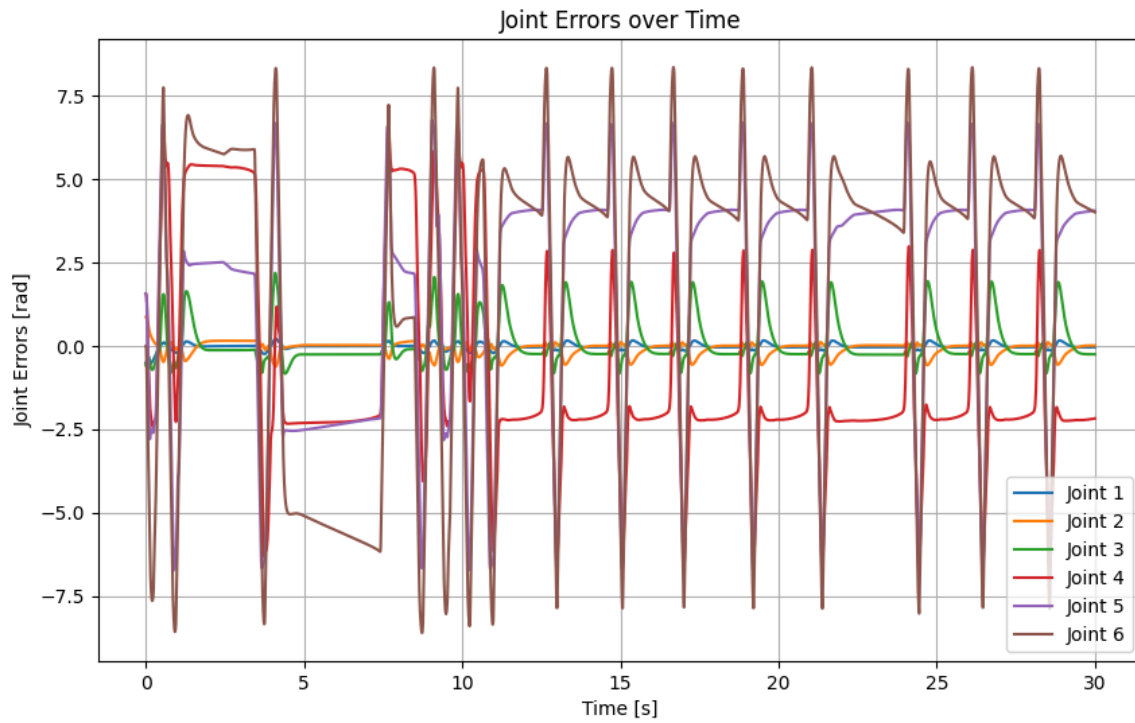
v = kp * q_err + kd * d_q_err + dd_q_t
u = M_hat @ v + (C_hat + D_hat) @ dq + g_hat + F_c_hat
u_history.append(u)

return u

```







## 2.2.2 Реализация робастного контроллера

```
def get_worse_parameters(M, C, g, D, F_c):
    result_disp = 0.01
    result = ((result_disp * 2 * np.random.random(5) - result_disp) + 1)

    M_hat = result[0] * M
    C_hat = result[1] * C
    g_hat = result[2] * g
    D_hat = result[3] * D
    F_c_hat = result[4] * F_c
```

```

    return M_hat, C_hat, g_hat, D_hat, F_c_hat

def V_s(M_hat, S):
    k = 1000
    epsilon = np.array([200, 200, 100, 100, 10, 100])
    sigma_max = 5

    S_norm = np.ones(6) * np.linalg.norm(S)

    S_norm = np.array(list([(eps * np.sign(S_norm[i]) if S_norm[i] <= eps else S_norm[i]) for i, eps
in enumerate(epsilon)]))

    rho = (k / sigma_max) * np.linalg.pinv(M_hat)

    v_s = rho @ (S / np.mean(S_norm))

    return v_s

def controller(q: np.ndarray, dq: np.ndarray, t: float) -> np.ndarray:
    t_history.append(t)
    joint_position_history.append(q)
    joint_velocity_history.append(dq)

    pin.computeAllTerms(model, data, q, dq)

    M_hat, C_hat, g_hat, D_hat, F_c_hat = get_worse_parameters(data.M, data.C, data.g, D, F_c)

    q_t = np.array([-0.5, -0.7, 1.0, 0.0, 0.0, 0.0], dtype=float)
    dq_t = np.zeros(6, dtype=float)
    ddq_t = np.zeros(6, dtype=float)

    lambdas = np.array([400, 400, 400, 100, 100, 10], dtype=float)

    q_err = q_t - q
    error_history.append(q_err)

    dq_err = dq_t - dq

    S = dq_err + lambdas * q_err

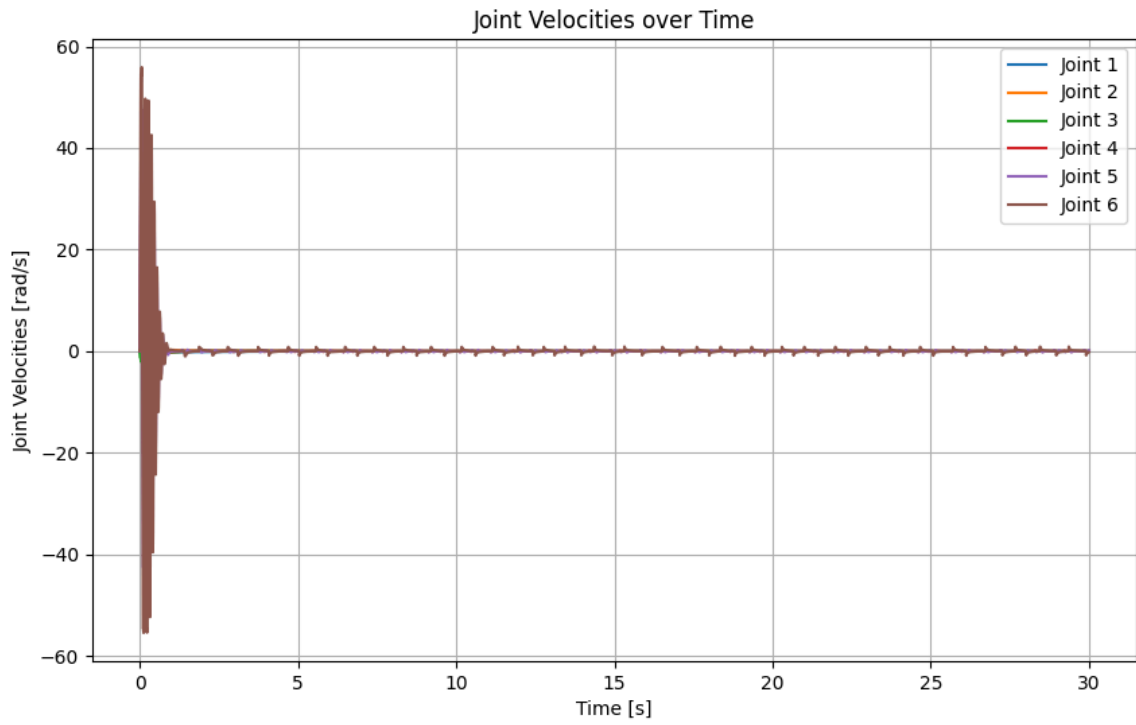
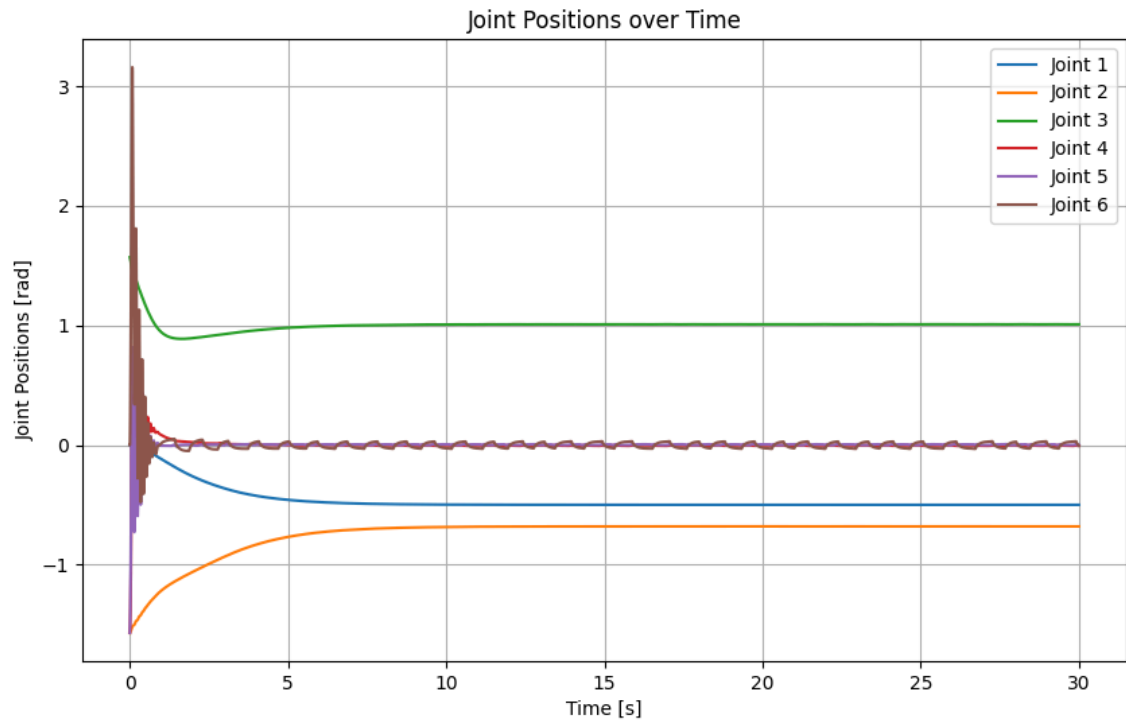
    V = ddq_t + lambdas * dq_err + V_s(M_hat, S)

    u = M_hat @ V + (C_hat + D_hat) @ dq + g_hat + F_c_hat * np.sign(dq)

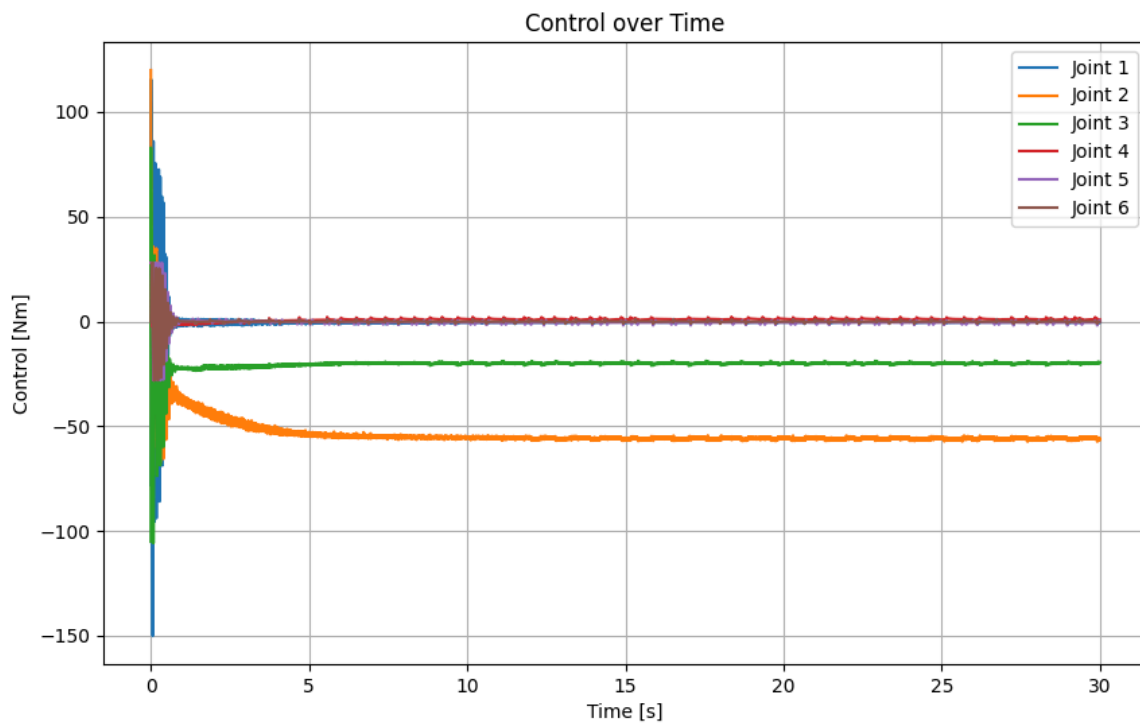
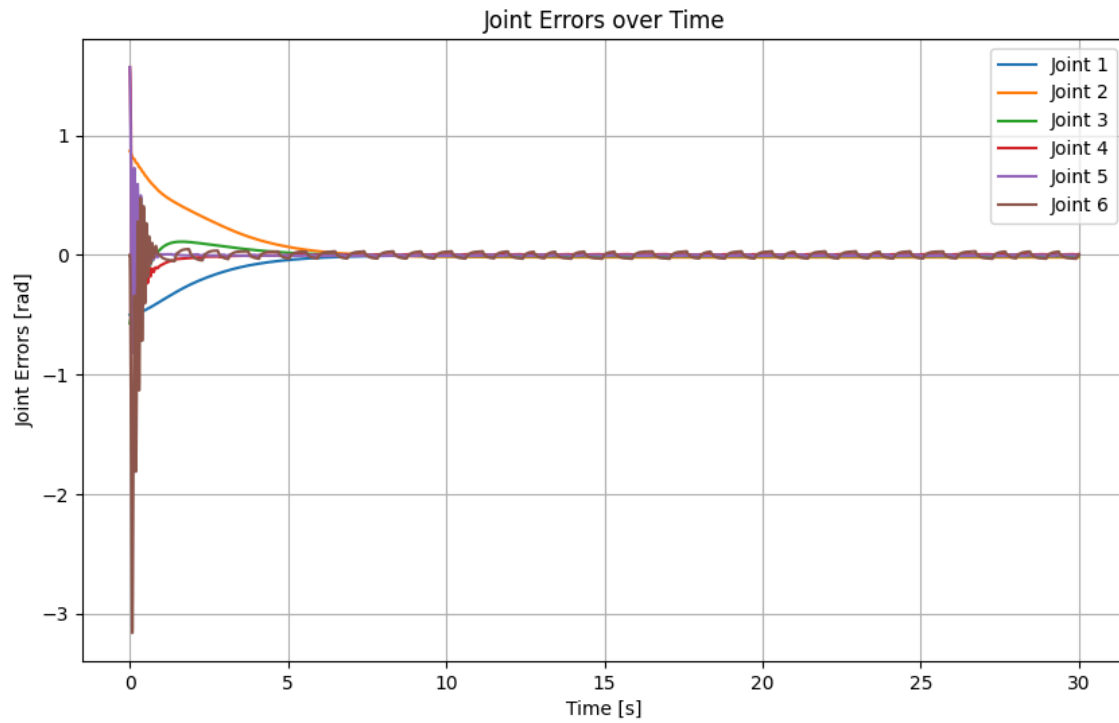
    u_history.append(u)

    return u

```







### 2.2.3 Сравнение PD и Robust контроллеров

Видно, что в случае robust контроллера система сходится и остается в стабильном положении, в то время как PD не обеспечивает в данном случае даже зануления ошибки, а приводит к некоторому колебательному процессу

### Реализация пограничного слоя

Пограничный слой реализован в виде выражения:

$$v_s = \begin{cases} \rho \frac{S}{\|S\|}, & \|S\| > \epsilon \\ \rho \frac{S}{\epsilon}, & \|S\| \leq \epsilon \end{cases}$$

В коде это реализовано отдельно для каждого сустава и выглядит как:

```
def V_s(M_hat, S):
    k = 1000
    epsilon = np.array([200, 200, 100, 100, 10, 100])
    sigma_max = 5

    S_norm = np.ones(6) * np.linalg.norm(S)

    S_norm = np.array(list([(eps * np.sign(S_norm[i]) if S_norm[i] <= eps else S_norm[i]) for i, eps
in enumerate(epsilon)]))

    rho = (k / sigma_max) * np.linalg.pinv(M_hat)

    v_s = rho @ (S / np.mean(S_norm))

    return v_s
```

## Вывод

Robust Control значительно лучше работает в условиях, когда параметры системы известны лишь приблизительно.